

## РОБАСТНОЕ УПРАВЛЕНИЕ СИСТЕМОЙ ВЗАИМОСВЯЗАННОГО ПО НАГРУЗКЕ ЭЛЕКТРОПРИВОДА

Чернышев Н.Н., магистр; Рафиков Г.Ш., доцент, к.т.н.

(Донецкий национальный технический университет, г. Донецк, Украина)

Общая постановка проблемы. В современной теории управления определяющей концепцией становится конструирование регулятора не для отдельно взятого объекта управления, а для множества объектов включая, так называемый, номинальный, определяемых классами неопределенности в описании моделей объекта управления.

Данная проблема эффективно решается с использованием методов  $H^\infty$  – теории управления. Конструирование робастного регулятора сводится к решению проблемы  $H^\infty$  – оптимизации: минимизации  $H^\infty$  – нормы замкнутой передаточной функции от внешнего входа к внешнему выходу путем выбора регулятора из множества допустимых регуляторов. Регуляторы, синтезированные с использованием этого критерия оптимальности, обеспечивают устойчивость замкнутой системы и минимальную чувствительность к возмущениям.

Объектом исследования является система взаимосвязанного по нагрузке электропривода, которая применяется по конструктивным соображениям или с целью уменьшения момента инерции электропривода, а так же из–за невозможности выполнения привода большой мощности с одним двигателем. Двигатели соединяются между собой механическим или электрическим способом. Подобного рода взаимосвязанные электроприводы встречаются в механизмах металлургической промышленности, кузечно – прессовых машинах, подъемно – транспортных устройствах, в специальных установках большой мощности [1].

Постановка задачи синтеза робастного регулятора. В работе рассматривается система взаимосвязанного по нагрузке электропривода. Цель построения системы управления – равномерное распределение нагрузок между отдельными электроприводами взаимосвязанной системы [1,2].

Структурная схема электропривода приведена на рис. 1. На схеме:  $x_1, x_2$  – отклонения выходных напряжений тиристорных преобразователей, подаваемых в якорные цепи двигателей;  $x_3, x_4$  – отклонения якорных токов приводных двигателей;  $x_5$  – отклонение угловой скорости вращения вала двигателей;  $u_1, u_2$  – отклонения управляющих напряжений, подаваемых на тиристорные преобразователи с системы управления приводами;  $M_{d1}, M_{d2}$  – отклонения электромагнитных моментов, развиваемых двигателями от номинала;  $M_c$  – отклонение момента сопротивления (нагрузки);  $T_{tp1}, T_{tp2}$  – постоянные времени тиристорных преобразователей;  $k_{tp1}, k_{tp2}$  – коэффициенты передачи тиристорных преобразователей;  $c_{m1}, c_{m2}, c_{e1}, c_{e2}$  – конструктивные постоянные двигателей;  $R_{j1}, R_{j2}$  – активные сопротивления якорных цепей двигателей;  $T_{\vartheta1}, T_{\vartheta2}$  – электромагнитные постоянные якорных цепей двигателей;  $J$  – суммарный приведенный момент инерции к одному из валов двигателя.

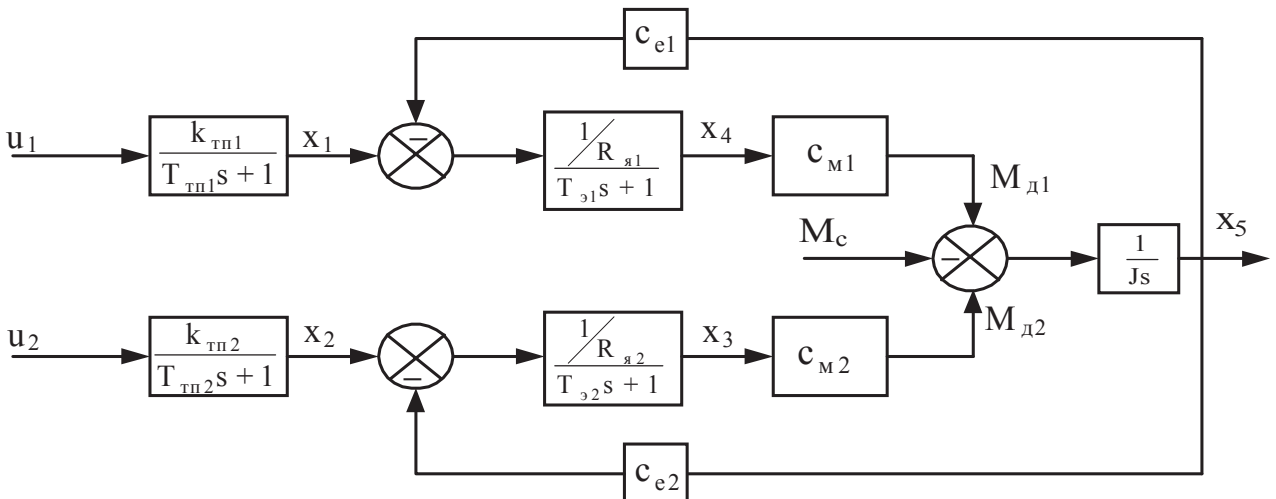


Рисунок 1 – Структурная схема системы взаимосвязанного по нагрузке электропривода

Математическая модель системы в пространстве состояний имеет вид (1):

$$\begin{aligned}\dot{x}_1 &= -\frac{1}{T_{\text{тп}1}}x_1 + u_1 \frac{k_{\text{тп}1}}{T_{\text{тп}1}}; \quad \dot{x}_2 = -\frac{1}{T_{\text{тп}2}}x_2 + u_2 \frac{k_{\text{тп}2}}{T_{\text{тп}2}}; \quad \dot{x}_3 = -\frac{1}{R_{\text{я}1}T_{\epsilon 1}}x_1 - \frac{1}{T_{\epsilon 1}}x_3 - \frac{c_{el}}{R_{\text{я}1}T_{\epsilon 1}}x_5; \\ \dot{x}_4 &= -\frac{1}{R_{\text{я}2}T_{\epsilon 2}}x_2 - \frac{1}{T_{\epsilon 2}}x_4 - \frac{c_{e2}}{R_{\text{я}2}T_{\epsilon 2}}x_5; \quad \dot{x}_5 = \frac{c_{m1}}{J}x_3 + \frac{c_{m2}}{J}x_4 - \frac{1}{J}M_c.\end{aligned}\quad (1)$$

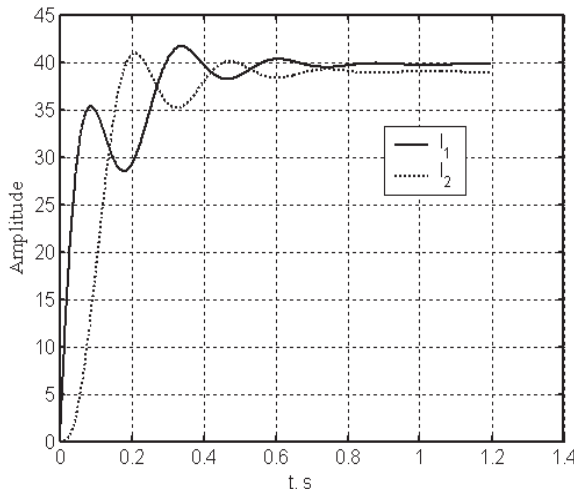
Синтез ЛКГ регулятора. Произведем синтез фильтра Калмана при наличии возмущений, действующих в цепи измерения, который позволяет оценить переменные состояния объекта управления на основе данных о случайных внешних возмущениях и ошибках измерений.

Вычисление матриц коэффициентов обратной связи фильтра Калмана и оптимального регулятора велось по методике, представленной в [3,4].

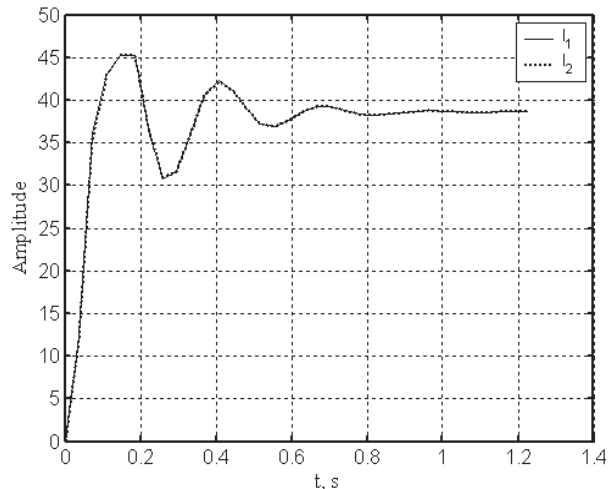
Синтез  $H^\infty$  - субоптимального регулятора. Поставленная задача решена с помощью метода “2–Риккати подхода”. Поиск регулятора проведен по алгоритму, представленному в [5]. Алгоритм организован по схеме последовательного поиска все более малого значения критерия и стабилизирующей обратной связи, обеспечивающей его достижение.

Результаты. При подстановке численных значений параметров  $c_{m1}=8,1 \text{ H}^*\text{m/A}$ ,  $c_{m2}=8,262 \text{ H}^*\text{m/A}$ ,  $c_{el}=8,15 \text{ B}^*\text{c/рад}$ ,  $c_{e2}=8,313 \text{ B}^*\text{c/рад}$ ,  $T_{\epsilon 1}=0,0886 \text{ с}$ ,  $T_{\epsilon 2}=0,090372 \text{ с}$ ,  $R_{\text{я}1}=0,0819 \text{ Ом}$ ,  $R_{\text{я}2}=0,08358 \text{ Ом}$ ,  $J=32,5 \text{ кг}^*\text{м}^2$ ,  $T_{\text{тп}1}=0,001 \text{ с}$ ,  $T_{\text{тп}2}=0,0012 \text{ с}$ ,  $k_{\text{тп}1}=161,2$ ,  $k_{\text{тп}2}=164,424$  в (1) получены матрицы объекта управления, имеющие следующие размерности  $A_{(5 \times 5)}$ ,  $B_{1(1 \times 5)}$ ,  $B_{2(2 \times 5)}$ ,  $C_{(3 \times 5)}$ .

На рис. 2 (а, б)) представлены переходные процессы по отклонению якорных токов электродвигателей с ЛКГ и  $H^\infty$  – субоптимальным регулятором соответственно.



a)



б)

Рисунок 2 – График отклонения якорных токов электродвигателей при использовании ЛКГ (а)) и  $H^\infty$  – субоптимального регулятора (б))

Из приведенных графиков видно, что при использовании  $H^\infty$  – субоптимального регулятора двигатели равнонаагружены, т.к. переходные процессы их якорных токов полностью совпадают, чего не наблюдается при использовании ЛКГ регулятора.

Выводы по работе:

- Получена модель системы взаимосвязанного по нагрузке электропривода в пространстве состояний.
- На основе современной теории управления произведен синтез ЛКГ и  $H^\infty$  – субоптимального регулятора.
- Решена задача равномерного распределения нагрузок между отдельными электроприводами взаимосвязанной системы.
- Проведено моделирование замкнутой системы управления с ЛКГ и  $H^\infty$  – субоптимальным регулятором. Дано оценка качества полученных переходных процессов.  $H^\infty$  – субоптимальный регулятор обеспечивает лучшее качество переходных процессов по отклонениям токов двигателей.

#### Перечень ссылок

- Чиликин М.Г., Сандлер А.С. Общий курс электропривода: Учебник для вузов. - 6-е изд., доп. и перераб. - М.: Энергоиздат, 1981. - 576 с.
- Башарин А.В., Новиков В.А., Соколовский Г.Г. Управление электроприводами: Учебное пособие для вузов.-Л.: Энергоиздат. Ленингр. отд-ние, 1982.-292 с.
- Медведев В.С., Потемкин В.Г. Control System Toolbox. MATLAB 5 для студентов/ Под общ. ред. к.т.н. В.Г. Потемкина. – М.: ДИАЛОГ – МИФИ, 1999 – 278 с. (Пакеты прикладных программ).
- Robust Control Toolbox User's Guide, The MathWorks, Inc., 2001.
- Барабанов А.Е., Первозванский А.А. Оптимизация по равномерно частотным показателям ( $H^\infty$  - теория) // Автоматика и телемеханика.-1992.- №9.-С. 3-32.